

تولید نانوالیاف پلی اکریلیک اسید (PAA) / دکستران اصلاح شده با آنیلین به منظور جذب فلز سرب از محلول های آبی

محمد رضا یارندپور^۱، ابوسعید رشیدی^{۲*}، رامین خواجه^۳، نیلوفر اصلاحی^۴، محمد اسماعیل یزدان‌شناس^۵

۱- دانشجوی دکترا، دانشکده نساجی، دانشگاه آزاد اسلامی واحد علوم و تحقیقات، تهران، ایران، صندوق پستی: ۱۴۵۱۵/۷۷۵

۲- استاد، دانشکده نساجی، دانشگاه آزاد اسلامی واحد علوم و تحقیقات، تهران، ایران، صندوق پستی: ۱۴۵۱۵/۷۷۵

۳- دانشیار، دانشکده پلیمر و نساجی، دانشگاه آزاد اسلامی واحد تهران جنوب، تهران، ایران، صندوق پستی: ۴۴۳۵/۱۱۳۶۵

۴- استادیار، دانشکده نساجی، دانشگاه آزاد اسلامی واحد علوم و تحقیقات، تهران، ایران، صندوق پستی: ۱۴۵۱۵/۷۷۵

۵- دانشیار، دانشکده نساجی، دانشگاه آزاد اسلامی واحد یزد، یزد، ایران، صندوق پستی: ۸۹۱۹۵/۱۵۵

تاریخ دریافت: ۱۳۹۸/۳/۲۳ تاریخ پذیرش: ۱۳۹۸/۹/۱۱ در دسترس به صورت الکترونیکی از: ۱۳۹۹/۸/۲۰

چکیده

در این پژوهش، نانوالیاف پوسته - هسته پلی اکریلیک اسید (PAA) / دکستران - پلی آنیلین با ترکیب روش های الکتروریسی و پلیمراسیون درجا تهیه شده و قابلیت جذب فلز سنتگین این نانو الیاف مورد بررسی قرار گرفته است. نتایج نشان داد که پلی اکریلیک اسید و دکستران کاملاً به روش عملیات حرارتی که منجر به انجام واکنش استری می شود، شبکه ای می شوند. پلی آنیلین با ساختار پوسته مانند بر روی سطح نانوالیاف قرار گرفته و موج تشکیل نانوالیافی متخلخل با ناحیه سطح زیاد می شود. میزان تخلخل موجود بر روی سطح نانوالیاف با حذف نانوذرات کربنات کلسیم در طول فرآیند پلیمراسیون افزایش یافته است. بررسی متغیرهای موثر بر فرآیند جذب نشان داد که بازده جذب از محیط با افزایش مقدار جاذب افزایش یافته و به تدریج به مقدار ثابتی می رسد. با افزایش غلظت فلز سرب مقدار درصد حذف کاهش می یابد و میزان فلز سرب حذف شده در مقادیر مختلف pH متفاوت است. نانوالیاف HT-PAA/dextran ظرفیت جذب نسبتاً بالای را برای سرب نشان داده است که بعد از پلیمرزاسیون آنیلین بر روی سطح نانوالیاف به ۹۵۱,۱ میلی گرم بر گرم افزایش یافته است. بیشینه ظرفیت جذب فلز سرب حذف شده از نانوالیاف سنتزی به دست آمد. رفتار جذبی نانوالیاف سنتزی از ایزوترم لانگمیور و سینتیک شبه مرتبه دوم پیروی کرد.

واژه های کلیدی: پلی اکریلیک اسید، دکستران، پلی آنیلین، سینتیک جذب، ایزوترم جذب، پلیمراسیون درجا.

Preparation of Polyacrylic Acid (PAA) / Dextran Nanofibres Modified with Aniline to the Removal of Metal (Pb) from Aqueous Solutions

M. R. Yarandpour¹, A. Rashidi^{*1}, R. Khajavi², N. Eslahi¹, M. E. Yazdanshenas³

1- Department of Textile, Science and Research Branch, Islamic Azad University, P. O.Box: 14515/775, Tehran, Iran.

2- Department of Polymer & Textile, South Tehran Branch, Islamic Azad University, P. O. Box: 4435/1365, Tehran, Iran.

3- Department of Textile, Yazd Branch, Islamic Azad University, P. O. Box: 89195/155, Yazd, Iran

Received: 13-06-2019

Accepted: 02-12-2019

Available online: 10-11-2020

Abstract

In this paper, mesoporous PAA/dextran-polyaniline core-shell nanofibers were prepared with the combination of electrospinning and in-situ polymerization methods and their heavy metal adsorption ability was investigated. The result showed that PAA and dextran can be fully crosslinked through the esterification reaction via a heat-treatment method. Polyaniline with flake-like structure was deposited on the nanofiber surface resulted in high surface area and mesoporous structure of nanofibers. The number of pores was increased by removing the calcium carbonate nanoparticles incorporated on the nanofiber surface during the polymerization process. Investigation of the variables affecting the adsorption process showed that the adsorption efficiency increased with increasing adsorbent and gradually reached a constant value. As the concentration of lead metal decreased, the percentage of removal decreased and the amount of removed metal varied at different pH values. HT-PAA / dextran nanofibers showed relatively high adsorption capacity for Pb, which increased to 951.1 mg / g after aniline polymerization on the surface of the nanofibers. The synthesized nanofibers showed a high maximum adsorption capacity of 1111.11 mg/g for Pb obtained from the Langmuir isotherm model. J. Color Sci. Tech. 14(2021), 255-271©. Institute for Color Science and Technology.

Keywords: Polyacrylic acid, Dextran, Polyaniline, Adsorption kinetic, Adsorption isotherm, In-situ polymerization.

*Corresponding author: rashidi@srbiau.ac.ir

زیادی گروههای عاملی یونی است که ترکیب آلی است که به صورت گستردگی در حذف آلاینده‌ها استفاده می‌شود [۱۲]. در مطالعه تحقیقاتی دیگر، نانوکامپوزیت زئولیت-پلیاکریلیک اسید تهیه و برای حذف مواد رنگرا استفاده شده است [۱۳].

اخیراً، استفاده از پلیمرهای رسانا برای جذب یون‌های فلزی بدليل ظرفیت جذب بالا و انتخاب‌پذیری خوب پیشنهاد شده است [۱۴]. در میان پلیمرهای رسانا، پلی‌آنیلین (PANI) به دلیل سهولت تهیه، رسانایی بالا، پایداری شیمیایی و قیمت کم بیشتر مورد توجه است [۱۵]. پیش‌تر اظهار شده است که ساختار متخلخل ظرفیت جاذب‌ها را برای جذب آلاینده‌ها افزایش می‌دهد [۱۶، ۱۷]. در مطالعه‌ای، کربنات کلسیم به عنوان ماده تولید کننده تخلخل با قابلیت انحلال در محلول HCl بعد از فرآیند پلیمراسیون استفاده شده است [۱۸].

در این پژوهش، قابلیت شبکه‌ای شدن دکستران و پلی‌اکریلیک اسید (PAA) با عملیات حرارتی بررسی شده است و نانوالیاف سنتزی به عنوان جاذب برای حذف فلز سرب از محلول سطح نانوالیاف به منظور افزایش جذب پلیمراسیون شده است. قابلیت جذب نانوالیاف سنتزی به منظور حذف فلز سرب و تاثیر عوامل عملیاتی بر روی بازده جذب بررسی شده است.

۲- بخش تجربی

۲-۱- مواد

پلی‌اکریلیک اسید (PAA) ($M_w \sim 450000 \text{ gmol}^{-1}$), دکستران purity ($M_w = 450000 \text{ gmol}^{-1}$), اسید هیدروکلریدریک purity ($\sim ۹۷\%$), HCl, CaCO_3 , آنیلین ($> ۹۸\% \text{ purity}$) ($C_6H_5NH_2, \sim ۹۹/۵\%$), پرسولفات آمونیم (APS) از شرکت سیگما آلدريج تهیه شده است.

۲-۲- روش کار

محلول الکتروریسی مخلوط ($۰.۱\text{ wt}/\text{PAA/dextran}$) از مخلوط کردن محلول‌های پلیمری ($۰.۵\text{ wt}/\text{PAA}$ و $۰.۵\text{ wt}/\text{dextran}$) با نسبت $۳۰:۷۰$ ، $۵۰:۵۰$ ، $۶۰:۴۰$ و $۷۰:۳۰$ به دست آمده است. مخلوطها بر روی همزن به مدت ۱۲ ساعت، به منظور به دست آوردن محلول‌های یکنواخت قرار داده شده است. در نهایت، محلول‌ها با ولتاژ ۲۰ کیلو ولت، نرخ تزریق $۰.۰\text{ میلی لیتر بر ساعت}$ و فاصله سوزن تا جمع کننده ۱۷ سانتی متر الکتروریسی شد. نانوالیاف حاصله به وسیله عملیات حرارتی در آون در دمای ۱۴۵ درجه سانتی گراد به مدت ۳۰ دقیقه شبکه‌ای گردید [۸].

نانوالیاف پوسته - هسته PAA/dextran-polyaniline توسط HT-PAA/dextran پلیمراسیون در جای آنیلین بر روی سطح نانوالیاف

۱- مقدمه

فعالیت‌های صنعتی مانند تکمیل فلزی، بنزکاری، دباغی چرم، عکاسی و صنایع نساجی باعث افزایش فلزات سنگین در پساب می‌شوند. فلزات سنگین به خاطر سمیت زیاد و غیرقابل تجزیه بودن سلامت انسان و ایمنی محیط‌زیست را تهدید می‌کنند [۱]. در میان فناوری‌های مختلف (مانند تبدال یون، تهنشینی، جذب و فرآیند غشا) برای حذف فلزات سنگین از پساب کاربرد فرآیند جذب به دلیل بازده بالای آن، راحتی و انعطاف‌پذیری در طراحی بسیار مورد توجه است [۲]. جاذب‌های آلی و معدنی مختلفی به منظور حذف فلزات سنگین تولید شده‌اند [۳]. در میان آنها، جاذب‌های پلیمری، به طور گستردگی برای حذف و بازیابی فلزات سنگین از پساب به دلیل ظرفیت جذب بالا و قابلیت استفاده مجدد از آن مورد استفاده قرار می‌گیرند [۴]. اگرچه این جاذب‌ها عملکرد جذبی خوبی را نشان داده‌اند، روش‌های تکمیلی برای جاذب‌ها از محلول مورد نیاز است. به منظور غلبه بر این چالش، استفاده از جاذب‌هایی با ساختار تکبعدی و پیوسته بسیار مورد توجه است. فناوری الکتروریسی به عنوان یک روش مناسب برای تولید نانوالیاف با خواص منحصر به فردی همچون تخلخل بالا و ایجاد ساختار متخلخل پیوسته، اندازه منفذ زیر میکرون و ناحیه سطح به حجم بالا، شناخته شده است [۵].

در دهه‌های اخیر، پلیمرهای محلول در آب به دلیل استفاده گستردگی در داروها، موادغذایی و نوشیدنی‌ها، لوازم آرایشی، مواد شوینده، پوشش‌ها و رنگ‌ها بسیار مورد توجه می‌باشند. حالیت این پلیمرها در محیط آبی به دلیل توانایی آنها به منظور برقراری پیوند هیدروژنی قوی مابین این ترکیبات و مولکول‌های آب بدليل حضور مقادیر زیادی گروههای هیدروکسیل یا آمین در ساختار است [۶]. از طرف دیگر، به منظور افزایش ظرفیت جذب جاذب‌ها، گروههای عاملی مختلف از جمله گروههای کربوکسیل، تترآزین، سولفونیک، آمین و فسفریک بر روی سطح جاذب قرار می‌گیرند [۷]. بنابراین، پیشنهاد شده است که پلیمرهای محلول در آب با مقادیر زیاد گروههای عاملی می‌توانند به عنوان جاذب بعد از فرآیند شبکه‌ای شدن استفاده شوند. در پژوهش‌های گذشته، نانوالیاف پلی‌وینیل الکل / کیتوسان به وسیله گلوتارآلدهید شبکه‌ای شده است و برای حذف مواد رنگزای آنیونی استفاده شده است [۸].

دکستران به عنوان یک پلیمر محلول در آب، زیست‌سازگار و تخریب‌پذیر شامل -۱α ، -۲α ، -۳α ، -۴α یا -۱α است [۹]. همچنین، به راحتی بدليل حضور گروههای هیدروکسیل در ساختارش می‌تواند اصلاح شود [۱۰]. در پژوهشی، هیدروژل اپی کلروهیدرین-کراسلینک شده به دی اتیلن آمینو اتیل دکستران (DEAE-D/ECH) سنتر شده و به منظور حذف فلزات سنگین استفاده شده است [۱۱]. همچنین، پلی‌اکریلیک اسید (PAA) محلول در آب که دارای مقادیر

اولیه، pH و میزان جاذب بر روی بازده حذف نانوالیاف بررسی شده است.

اثر میزان جاذب توسط تغییر میزان نانوالیاف در محدوده ۴-۱۲ میلی گرم در pH=۷,۵ و غلظت اولیه ۲۰۰ میلی گرم بر لیتر بررسی شده است. به منظور بررسی اثر pH محلول بر روی حذف یون فلزی، نانوالیاف (۰,۰۱ گرم) به ۵۰ میلی لیتر محلول یون فلزی (۰,۰۰۱ گرم) در مقادیر مختلف pH (۲,۵، ۴,۵، ۶,۵ و ۸,۵) اضافه شد. اثر غلظت ابتدایی یون فلزی بر روی حذف یون فلزی توسط تنظیم غلظت‌های محلول‌های یون فلزی در ۱۰۰، ۳۰۰، ۴۰۰ و ۵۰۰ ppm اضافه شد. اثر pH میزان جاذب ۱۰۰ گرم مطالعه شد.

به منظور تعیین ماهیت فیزیکی یا شیمیایی فرایند جذب، جذب در دماهای مختلف در محدوده ۲۰-۶۰ درجه سانتی گراد انجام شده است. pH، میزان جاذب و غلظت اولیه فلز سنجین به ترتیب ۷,۵، ۰,۰۱ گرم و ۲۰۰ میلی گرم بر لیتر بود. تمام آزمایشات سه مرتبه تکرار شده و انحراف استاندارد کمتر از ۵٪ است. همچنین، pH محلول با HCl یا NaOH (۰,۱ مولار) تنظیم گردید. ظرفیت جذب (q) و بازده جذب (R) به ترتیب براساس رابطه‌های ۲ و ۳ محاسبه شده است.

$$q = \frac{(C_0 - C_e) \times V}{M} \quad (2)$$

$$R\% = \frac{C_0 - C}{C_0} \times 100 \quad (3)$$

که C_0 و C_e غلظت‌های اولیه و تعادلی یون‌های فلزی در محلول (میلی گرم بر لیتر)، V حجم محلول (لیتر)، C غلظت یون‌های فلزی در $t=1$ و M وزن جاذب است. غلظت یون فلزی باقی مانده در محلول با استفاده از طیفسنج جذب اتمی (939 Unicam) تعیین شد.

۳- نتایج و بحث

۳-۱- خصوصیات میکروسکوپی

تصاویر FESEM نانوالیاف PAA/dextran با نسبت غلظت پلیمر در شکل ۱ نشان داده شده است. در گذشته، نانوالیاف دکستران و PAA با وزن مولکولی مشابه با مواد استفاده شده در این پژوهش به صورت جداگانه تولید شدند [۱۹، ۲۰]. در این پژوهش، نانوالیاف کامپوزیتی با نسبت غلظت پلیمر مختلف (PAA:dextran) تولید گردید. نانوالیاف با ساختار بیدار وقتی نسبت غلظت پلیمر با (۰,۶۰، ۰,۴۰ و ۰,۲۰) به دست آمد. چگالی بید برای نمونه تولید شده از نسبت غلظت پلیمر (۰,۶۰، ۰,۴۰) بیشتر از نمونه‌های دیگر است. در حالی که نمونه ۰,۶۰ خیلی کم است که به دلیل عدم تعادل شرایط دفع الکترواستاتیک، کشش سطحی و نیروهای ویسکوالاستیک است که منجر به از هم گسیختگی جت مایع می‌شود [۲۱]. برای نمونه تهیه شده از محلول ۰,۶۰ مقداری قطرات ناخالص

به دست آمده است. مقادیر مختلف آنیلین (۰,۱ میلی لیتر) و پرسولفات آمونیم (نسبت آنیلین به پرسولفات آمونیم، ۱:۲ ثابت نگه داشته شده است) به ترتیب در ۴۰ و ۱۰ میلی لیتر HCl اضافه شده است. مقادیر مختلف نانوذرات کربنات کلسیم به مخلوط آنیلین (نسبت وزنی نانوذره به آنیلین ۱:۱ است) اضافه شد. نانوالیاف HT-PAA/dextran در محلول آنیلین بعد از ۱۵ دقیقه فرآصوت، غوطه‌ور شده است. سپس محلول پرسولفات آمونیم قطره به نانوالیاف غوطه‌ور که در حمام بیخ بود اضافه گردید. در نهایت، نانوالیاف حاصله با آب دیونیزه شسته شده و در آون خلا در دمای ۴۰ درجه سانتی گراد به مدت ۴۸ ساعت خشک شد. به منظور حذف نانوذرات، نانوالیاف در محلول HCl، ۰,۱ مولار به مدت ۲ ساعت تحت همزن قرار گرفته است و سپس، با آب دیونیزه شسته و خشک گردید.

۳-۲- بررسی خصوصیات شیمیایی و ساختاری نانوالیاف سنتزی

طیف FT-IR نانوالیاف مختلف بوسیله روش طیفسنجی تبدیل فوریه زیر قرمز (FTIR Nicolet NEXUS 870 FTIR) مورد آزمایش قرار گرفت. ریخت‌شناصی FE-SEM (Instrument Corp., USA) سطح نانوالیاف با استفاده از میکروسکوپ الکترونی (Sigma, Zeiss Germany) بررسی شد. اندازه‌گیری ناحیه سطح Brunauer-Emmett-Teller (BET) (Micromeritics Gemini III 2375, USA) انجام گرفت. توزیع اندازه منفذ با استفاده از مدل Barret-Joyner-Halenda (BJH) براساس ایزوترم جذب و دفع نیتروژن بوسیله یک تخلخل سنج محاسبه شد.

۴-۲- قابلیت انحلال

قابلیت حلایت نانوالیاف توسط غوطه‌وری نانوالیاف در حمام حاوی آب مقطرا و محلول HCl (۰,۱ مولار) به مدت ۱۲۰ دقیقه در دمای ۲۵ درجه سانتی گراد و pH=۷,۵ بررسی شده است. سپس نانوالیاف جدا شده و در دمای ۶۰ درجه سانتی گراد به مدت ۶ ساعت خشک شد. سپس، نانوالیاف را وزن کرده و قابلیت حلایت براساس رابطه ۱ محاسبه شده است.

$$\text{Solubility (\%)} = \frac{m_x - m_y}{m_y} \times 100 \quad (1)$$

که m_x و m_y به ترتیب وزن نانوالیاف قبل و بعد از غوطه‌وری در آب مقطرا است.

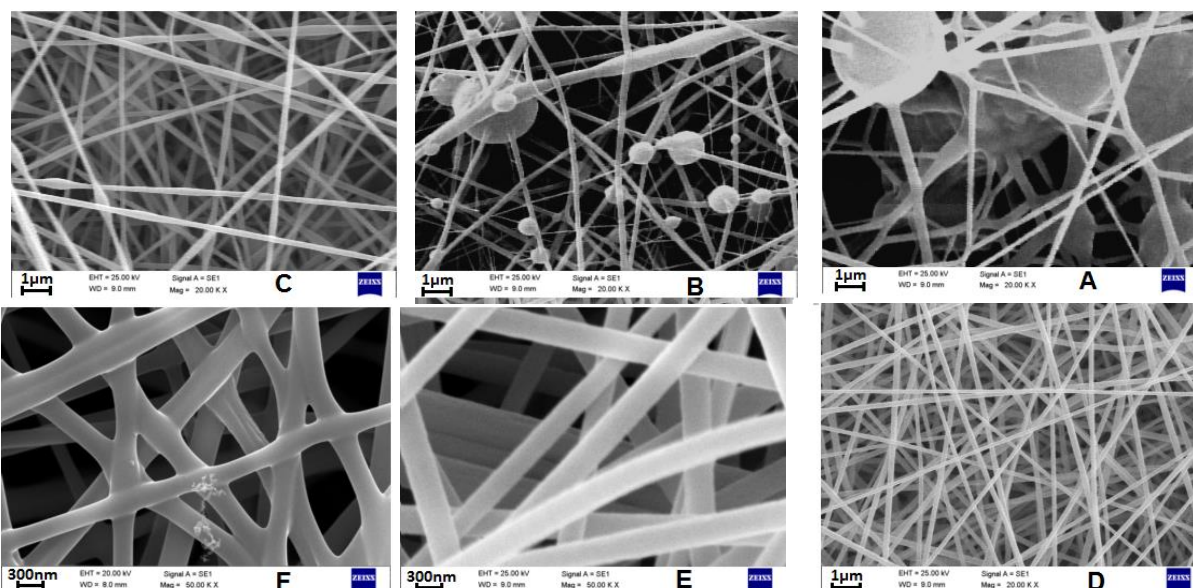
۵- مطالعات جذب

مطالعات جذب توسط مخلوط کردن نانوالیاف سنتزی با ۵۰ میلی لیتر محلول Pb(II) در دمای اتاق محاسبه شده است. اثر غلظت یون فلزی

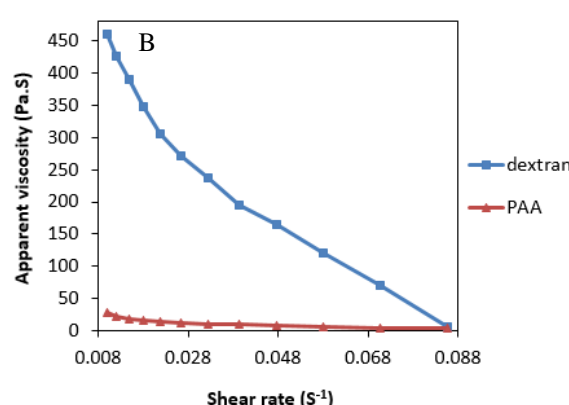
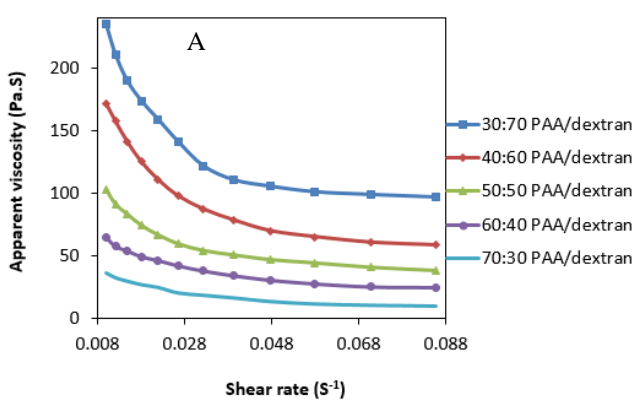
تابعی از نرخ برش برای محلول‌های مختلف در ۲۵ درجه سانتی‌گراد در شکل ۲ نشان داده شده است.

همان‌طور که می‌توان مشاهده کرد، برای تمام نمونه‌ها، مقادیر ویسکوزیته محلول با افزایش نرخ برش کاهش یافته است (اثر کم شدن برش)، در نرخ‌های برش کم، زنجیرهای دکستران بدلیل نواحی آب‌گریز و آب‌دوست درون مولکول‌های دکستران متراکم شده که مقادیر گرانروی بالا را نتیجه می‌دهد (۴۶۰ پاسکال در ثانیه در نرخ برش ۱۰,۰۰۰ ثانیه) [۲۳].

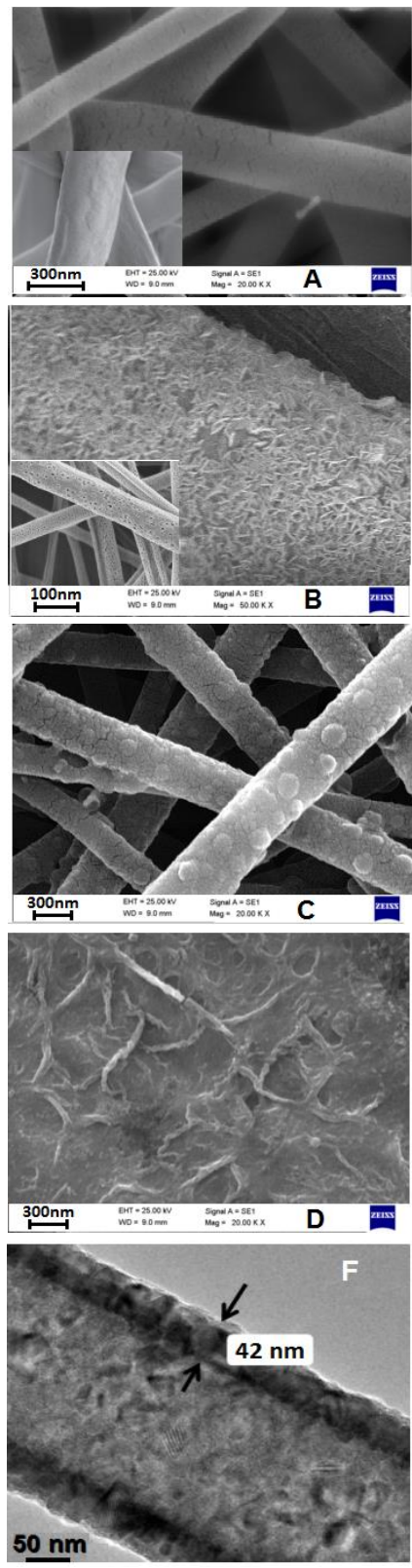
مشاهده شده است که تاثیر نیروی گرانش و شکست مویرگی جت ریسندگی توسط کشش سطحی است [۲۲]. مشخص شده است که نانویاف‌های نکامی که غلظت دکستران تا ۷۰٪ افزایش می‌یابد، تولید نمی‌شود. افزایش میزان دکستران در تولید ریخت‌شناسی یکنواخت دلخواه نیست. در مخلوط PAA و دکستران فعل و انفعالات پیوند هیدروژنی میان پلیمرها درگیری‌ها و گرانروی محلول را افزایش می‌دهد و ریخت‌شناسی نانولیفی به دست می‌آید. نتایج نشان می‌دهد که یک مخلوط PAA و دکستران با نسبت غلظت ۷۰:۳۰ (PAA:dextran) ریخت‌شناسی یکنواخت را ایجاد می‌کند. تغییرات ویسکوزیته بعنوان



شکل ۱: تصاویر FESEM نانویاف در نسبت غلظت پلیمر (A) ۳۰:۷۰، (B) ۴۰:۶۰، (C) ۵۰:۵۰، (D) ۶۰:۴۰، (E) ۷۰:۳۰ و (F) نمونه ۴۰:۶۰ علیاً بزرگنمایی بالا داده شده.



شکل ۲: (A) تغییرات گرانروی به عنوان تابعی از نرخ برش برای محلول‌های مختلف در ۲۵ درجه سانتی‌گراد، (B) تغییرات گرانروی به عنوان تابعی از نرخ برش برای محلول‌های دکستران و PAA.



شکل ۳: تصاویر FESEM (A-E) و تصویر TEM (F) نانوالياف PAA/dextran/1aniline (A)، PAA/dextran/3aniline (C)، PAA/dextran/2aniline (B) و PAA/dextran/4aniline (D) و PAA/dextran/2aniline

گزارش شده است که در نرخ های برش کم، محلول دکستران قابلیت جذب بیشتر انرژی را دارد در حالی که ساختارش بدون تغییر شکل باقی بماند که موجب ویسکوزیته بالا می شود [۲۴]. با افزایش نرخ های برش، میزان تراکم در محلول دکستران کاهش می یابد و زنجیرهای پلیمر در جهت جریان همتراز شده و موجب کاهش گرانروی می شود [۶، ۸۹] پاسکال در ثانیه در نرخ برش ۱۰۰ بر ثانیه. اثر کم شدن برش برای محلول PAA بررسی شده است. مقدار گرانروی برای PAA در نرخ برش ۰،۰۱ و ۱۰۰ بر ثانیه به ترتیب ۲۷،۵ و ۳،۱۷ پاسکال در ثانیه است. اگرچه، دکستران ویسکوزیته بالایی را نشان می دهد اما نانوالياف تولیدی از محلول دکستران خالص مناسب نمی باشد که می تواند به طول کم زنجیر پلیمری و هدایت نامناسب محلول الکتروریسی نسبت داد [۱۰]. در این راستا، افزایش غلظت دکستران در محلول الکتروریسی دلخواه نبود و منجر به ظهور نقایصی مانند بید و دانه تسبیحی می شود. میانگین قطر نانوالياف تولیدی از محلول های ۶۰:۴۰ و ۷۰:۳۰ بترتیب ۳۳۹ و ۳۲۲،۵ نانومتر است. تصویر FESEM نانوالياف عملیات حرارتی شده در شکل ۱F و G را نشان می دهد. واضح است که نانوالياف عملیات حرارتی شده برخی چسبندگی ها را در نقطه اتصال نشان داده اند. همچنین، میانگین قطر نانوالياف کمی به ۳۰ و ۳۲۳،۳ نانومتر بترتیب برای محلول های ۶۰:۴۰ و ۷۰:۳۰ کاهش یافته است که می تواند بدلیل جمع شدگی نانوالياف در فرایند عملیات حرارتی باشد. از آنجاکه، نانوالياف تولیدی تحت عملیات اصلاح سطح و تصفیه فاضلاب قرار می گیرد بنابراین هیچ کاهش وزنی را نباید نشان دهنده در محلول HCl و آب نباید حل شوند. در این راستا، کاهش وزن نانوالياف عملیات حرارتی شده با نسبت ۶۰:۴۰ و ۷۰:۳۰ محاسبه شده است. نانوالياف PAA/dextran کراسلينک نشده در محلول آب و HCl بلافاصله حل می شوند. همچنین، مشخص شده است که نانوالياف با نسبت غلظت پلیمر ۷۰:۳۰ کاهش وزن ۱۲،۷ و ۱۶،۸٪ بترتیب در محلول آب و HCl نشان می دهند. در حالی که نانوالياف با نسبت غلظت ۶۰:۴۰ هیچ کاهش وزنی ندارند. بنابراین می توان نتیجه گرفت که نانوالياف تولیدی از محلول ۶۰:۴۰ بهتر شبکه ای شده و برای مطالعات بیشتر استفاده شده است. روش عملیات حرارتی منجر به پیوند بین مولکولی بین گروه های کربوکسیل PAA و گروه های هیدروکسیل دکستران شده است (بخش ۲-۳).

تصاویر FESEM نانوالياف پلیمریزه شده با غلظت های مختلف مونومر در بزرگنمایی های مختلف در شکل ۳ نشان داده شده است. تمام نمونه ها در محلول HCl به منظور حذف نانوذرات کربنات کلسیم غوطه ور شده اند. با توجه به تصاویر، پلیمراسیون در جا آنیلین منجر به رسوب یک لایه پلی آنیلین بر روی سطح نانوالياف شده است.

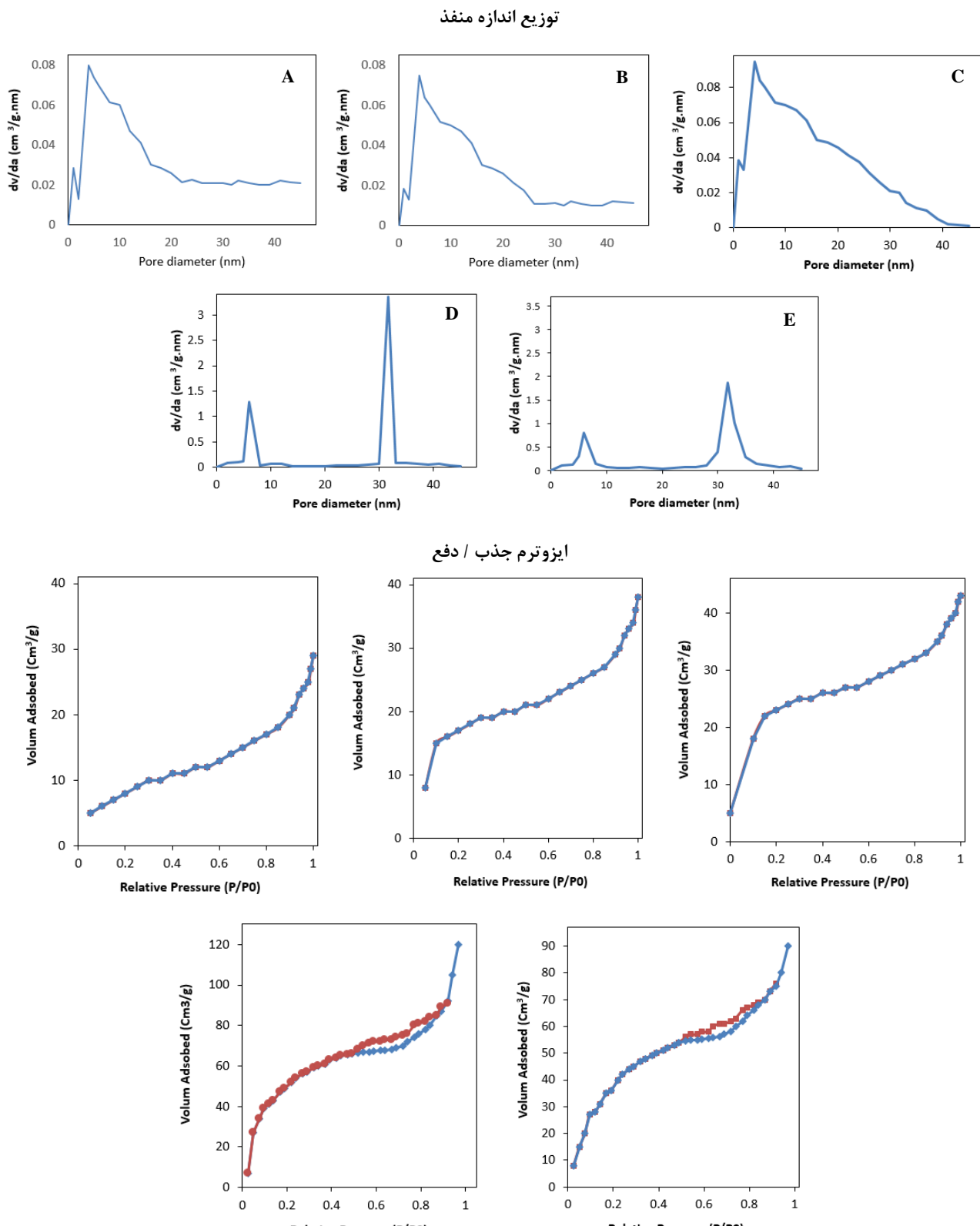
مشاهده شده است. همچنین، مشخص است که ضخامت پوسته ۴۲ نانومتر است و برخی درگیری‌ها ناشی از عملیات حرارتی در نانوالیاف PAA/dextran هسته مشاهده شده است.

ناحیه سطح نانوالیاف مختلف توسط آزمون BET مورد ارزیابی قرار گرفته است. مقدار ناحیه سطح BET برای HT-PAA/dextran، PAA/dextran/2aniline، PAA/dextran/1aniline، PAA/dextran/4aniline و PAA/dextran/3aniline بترتیب ۲۱,۷، ۲۱، ۲۱,۷، ۲۱,۳، ۵۳,۳، ۱۶۸، ۱۶۸، ۱۰۱,۵ و ۱۳,۱۱ (جدول ۱) است. این واضح است که مقدار ناحیه سطح BET، PAA/dextran/2aniline بیشتر از نمونه‌های دیگر است که به شکلی یکنواخت و منحصر به فرد نانوالیاف و حضور مزوپور بر روی سطح مربوط است. توزیع اندازه منفذ نانوالیاف پلیمریزه شده با غلظت‌های مختلف آنیلین با توجه به روش BJH بررسی شده است و نتایج در شکل ۴ ارائه شده است. توزیع اندازه منفذ PAA/dextran/2aniline دو بیک شدید در محدوده ۶ و ۳۱,۷ نانومتر نشان می‌دهد که بیان کننده تشکیل مزوپور بر روی سطح نانوالیاف است [۲۵]. ساختار مزوپور توسط نتایج ایزوترم جذب / دفع نیتروژن نیز تایید شده است [۲۶]. ایزوترم مشخصه از نوع IV با حلقه هیسترسیس نوع H3 است (شکل ۴). ساختار مشابه با شدت کمتر برای PAA/dextran/3aniline نشان داده است. ساختار متخلخل ظرفیت جذب جاذب را بدليل افزایش ناحیه سطح، مکان‌های قابل دسترس [۲۸]. بیشتر و قابلیت حبس آلانینده‌ها در منافذشان افزایش می‌دهد [۲۹]. برای نانوالیاف HT-PAA/dextran ایزوترم جذب / دفع ساختار نوع II بوده که نشان دهنده ساختار بدون تخخل نانوالیاف است [۲۹]. همان‌طور که مشاهده می‌شود، منحنی توزیع اندازه منفذ نانوالیاف PAA/dextran/1aniline و HT-PAA/dextran یک شکل منظم ندارد و هیچ پیک مشخصی در منحنی‌هاشان مشاهده نشده است.

در غلظت کم آنیلین (۱ میلی لیتر) لایه تشکیل شده یکنواخت بود و تنها شکاف‌هایی روی سطح نانوالیاف برای برخی نانوالیاف دیده شده است. میانگین قطر نانوالیاف از ۳۳۳,۳ (نانوالیاف HT-PAA/dextran) به ۳۴۳,۸ به پلی آنیلین ۹,۵ نانومتر است. می‌توان گفت که به دلیل اینکه ضخامت لایه پلی آنیلین ۹,۵ نانومتر است، میانگین کلیم می‌تواند بر روی سطح باشند (نانوذرات در میان زنجیرهای پلیمر در طول فرآیند پلیمراسیون حبس شده‌اند). بنابراین، ساختار متخلخل برای کل نانوالیاف قابل مشاهده نیست. در غلظت ۲ میلی لیتر آنیلین، لایه تشکیل شده یکنواخت بود و از پوسته‌های کوچک مانند نانوذرات تشکیل شده بود. این شکل منحصر به فرد باعث تشکیل یک ساختار متخلخل می‌شود. حذف کریبات کلیم، منافذ بزرگ با میانگین قطر ۳۸ نانومتر را بر روی سطح نانوالیاف تولید می‌کند. میانگین قطر نانوالیاف ۳۷۵ نانومتر بود. نانوذرات بزرگ با میانگین قطر ۱۰۱,۵ نانومتر بر روی سطح نانوالیاف هنگامیکه میزان آنیلین به ۳ میلی لیتر افزایش یافته است، تشکیل شده است. در این مورد، حضور منافذ بر روی سطح نانوالیاف برای تمام نانوالیاف مشخصات مشاهده نشده است. میانگین قطر نانوالیاف ۳۸۱ نانومتر است. افزایش بیشتر غلظت آنیلین یک شکل فیلم مانند را ایجاد کرده است. با توجه به تصاویر FESEM، استفاده از نانوذرات کریبات کلیم و ۲ میلی لیتر مونومر آنیلین منجر به تشکیل ساختار مزوپور می‌شود و در این شرایط پلیمراسیون آنیلین، شکل پوسته مانند دارد. دلیل این پدیده مشخص نیست اما می‌تواند احتمالاً به استفاده از غلظت کم مونومر و احتمالاً درجه کم پلیمراسیون مربوط باشد. همچنین، ساختار متخلخل نانوالیاف قابل مشاهده نمی‌باشد که نشان می‌دهد که یون‌های فلزی منافذ موجود بر روی سطح نانوالیاف را پر کرده‌اند. تصویر TEM نانوالیاف PAA/dextran/2aniline در شکل ۳F نشان داده شده است. رسوب یک لایه بر روی سطح نانوالیاف

جدول ۱: ناحیه سطح مخصوص نانوالیاف مختلف.

روش	نانوالیاف	میانگین قطر (nm)	SEM	بر پایه تصاویر	بر پایه جذب نیتروژن	V_{total} (cm ³ /g)	a_p (nm)	تخلخل (%)
PAA/dextran		۳۳۹			۲,۴۰۱	۰,۷۱۶	۱۹۰۱,۵	۶۲,۸
HT-PAA/dextran		۳۳۳,۳			۲۱,۷	۰,۷۰۲	۱۷۳۷,۳	۶۰
PAA/dextran/1aniline		۳۴۳,۸			۵۳,۳	۰,۷۳۶	۲۱۴۷,۸	۶۳,۸
PAA/dextran/2aniline		۳۷۵			۱۶۸	۰,۷۶۹	۲۴۵۸,۷	۶۸,۶
PAA/dextran/3aniline		۳۸۱			۱۰۱,۵	۰,۷۳۹	۲۲۴۰,۴	۶۰,۲
PAA/dextran/4aniline		-			۱۳,۱۱	۱,۶۰۳	-	-



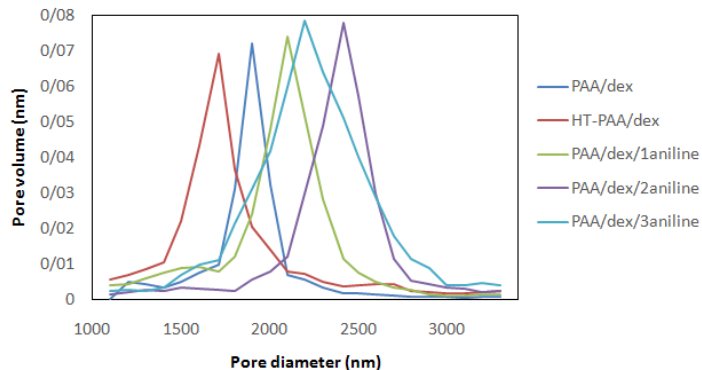
شکل ۴: توزیع اندازه منفذ و ایزوترم جذب / دفع
 . PAA/dextran/1aniline (C) .HT-PAA/dextran (B) .PAA/dextran (A) دفع
 . PAA/dextran/3aniline (E) و PAA/dextran/2aniline (D)

افزایش تخلخل شده است [۳۲، ۳۳]. با این حال، تخلخل بعد از فرآیند عملیات حرارتی بدلیل انقباض الیاف و تشکیل الیاف بی‌بافت متراکم کاهش یافته است [۸]. همچنین، افزایش غلظت آنیلین به ۳ میلی لیتر سبب کاهش تخلخل شده که سبب به بهم چسبیدگی نانوالیاف گردیده و میانگین قطر منفذ کاهش می‌یابد.

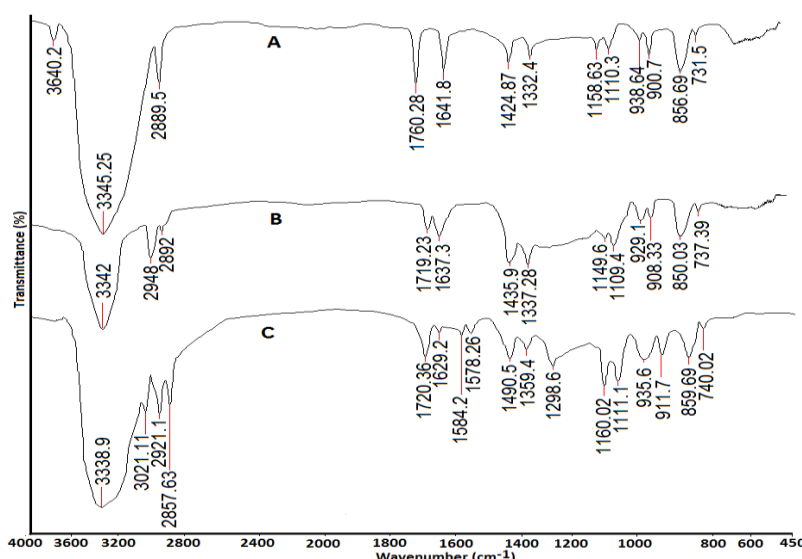
۲-۳- آزمون FT-IR

طیف FT-IR نانوالیاف PAA/dextran، PAA/dextran/HT-PAA، PAA/dextran/2aniline در شکل ۶ نشان داده شده است. برای نانوالیاف PAA/dextran باند جذبی در 3640 cm^{-1} به مولکول‌های همچنین، میانگین قطر منفذ نانوالیاف (جدول ۱) به علت افزایش قطر نانوالیاف به مقادیر بالاتر انتقال پیدا کرده است [۳۱]. تخلخل نانوالیاف از ۶۰٪ به ۶۸,۶٪ هنگامی که میانگین قطر نانوالیاف از ۳۳۹ به ۳۸۱ نانومتر افزایش یافته است. به طور کلی، افزایش قطر نانوالیاف باعث

این نشان می‌دهد که روش استفاده شده برای ارزیابی توزیع منفذ نانوالیاف نامناسب بوده است. گزارش شده است که روش BJH برای ارزیابی اندازه توزیع منفذ بزرگ مناسب نیست و روش نفوذ جیوه به جای آن استفاده می‌شود [۳۰]. توزیع اندازه منفذ نانوالیاف مختلف بر پایه روش نفوذ جیوه در شکل ۵ نشان داده شده است. این واضح است که تمام نمونه‌های جز نانوالیاف PAA/dextran/3aniline یک شکل نسبتاً باریک را نشان می‌دهند. این امر به دلیل بهم چسبیدگی نانوالیاف به یکدیگر در فرآیند پلیمراسیون بوده است. منحنی‌های PAA/ PAA /dextran/ 1aniline، HT-PAA/dextran، PAA/dextran و PAA/ dextran/ 2aniline به ترتیب در مرکز ۲۲۱۱، ۲۴۱۹,۴، ۲۱۰۱,۵، ۱۷۱۰,۶، ۱۸۹۹ نانومتر قرار دارد. همچنین، میانگین قطر منفذ نانوالیاف (جدول ۱) به علت افزایش قطر نانوالیاف به مقادیر بالاتر انتقال پیدا کرده است [۳۱]. تخلخل نانوالیاف از ۶۰٪ به ۶۸,۶٪ هنگامی که میانگین قطر نانوالیاف از ۳۳۹ به ۳۸۱ نانومتر افزایش یافته است. به طور کلی، افزایش قطر نانوالیاف باعث



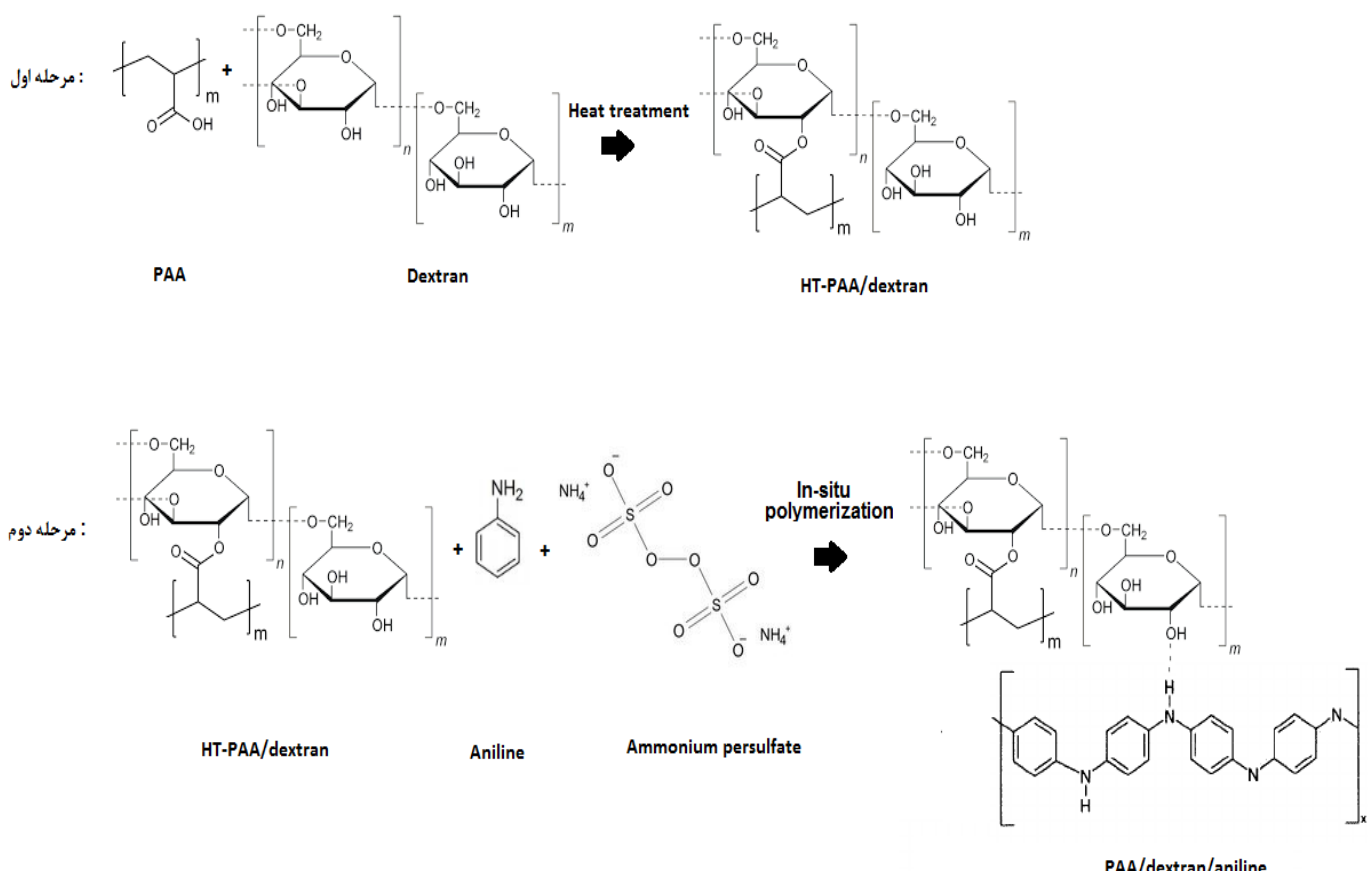
شکل ۵: توزیع اندازه منفذ نانوالیاف مختلف بر پایه روش نفوذ جیوه.



شکل ۶: طیف FTIR نانوالیاف (A) HT-PAA/dextran (B) PAA/dextran/2aniline (C)

مناسب برای خصوصیات عدم انحلال پذیری نانوالياف باشد [۲۰]. برای نانوالياف 2aniline/PAA/dextran/ تغییر شکل حلقه کششی بنزن (B) به ترتیب در 1490 cm^{-1} و 1578 cm^{-1} ظاهر شده است [۳۹]. شدت باند در 3328 cm^{-1} افزایش یافته است که به ارتعاش کششی آمین های ثانویه مربوط است. همچنین، پیک باند جذبی جدید در 3021 cm^{-1} ظاهر شده است که به ارتعاش کششی پیوند $=\text{C}-\text{H}$ = پلی آنیلین مربوط است. پیک ها در 1298 cm^{-1} و 1584 cm^{-1} به ترتیب به ارتعاش کششی $\text{C}-\text{N}$ و $\text{N}-\text{Q}-\text{N}$ مربوط است [۴۰]. پیک مشخصه ارتعاش $\text{N}-\text{Q}-\text{N}$ با ارتعاش $\text{C}=\text{C}$ در حلقه آروماتیک هم بوسانی داشته است [۴۱]. این نتایج حضور پلی آنیلین بر روی سطح نانوالياف را تایید می کند. فعل و انفعالات پیشنهادی بین ترکیبات مختلف استفاده شده در این پژوهش در شکل ۷ ارائه شده است.

پیک های در 938 cm^{-1} ، 856 cm^{-1} و 731 cm^{-1} به تغییر شکل حلقه α -گلوکوپیرانوز مربوط است [۳۶]. یک پیک جذبی در 1760 cm^{-1} به گروه های کربوکسیل PAA مربوط است [۱۵]. باند مشخصه پیوند α -گلوکوزیک در دکستران در 900 cm^{-1} ظاهر شده است. همچنین، باند در 1158 cm^{-1} به ارتعاشات کششی باند $\text{C}-\text{O}-\text{C}$ و پیوند گلوکوزیک مربوط است. ارتعاش کششی باند $\text{C}-\text{O}$ در موقعیت 1110 cm^{-1} ظاهر شده است [۳۷]. در طیف HT-PAA/dextran با برخی تغییرات در شدت پیک های مشابه به نانوالياف PAA/dextran مشاهده شده است. پیک های ناحیه در 3342 cm^{-1} و 1637 cm^{-1} مربوط به ارتعاشات گروه های هیدروکسیل کاهش یافته و همچنین پیک در 1719 cm^{-1} به ارتعاشات کششی گروه های استر اشباع نشده مربوط است [۳۸]. این تغییرات نشانه یک فرآیند استری شدن است. استری شدن می تواند یک توضیح



شکل ۷: فعل و انفعالات احتمالی بین ترکیبات استفاده شده در این پژوهش.

نانوآلیاف جلوگیری می‌شود. بر پایه نتایج به دست آمده نمونه PAA/dextran/2aniline ظرفیت جذب بالای فلز سرب انتخاب شده و در مطالعات آینده استفاده می‌شود.

۲-۳-۲-۱-اثر تغییر مقدار جاذب بر میزان جذب

اثر میزان جاذب بر روی جذب سرب در شکل ۹ ارائه شده است. واضح است که میزان جاذب دو اثر مختلف بر روی بازده جذب و ظرفیت جذب نشان می‌دهد. با افزایش میزان نانوآلیاف، بازده جذب به دلیل افزایش سطح جاذب و مکان‌های جذب در دسترس بیشتر در مقابل میزان مشخص آلاینده افزایش می‌یابد در حالی که ظرفیت جذب به دلیل برخی مکان‌های جذب غیر اشباع باقی‌مانده در طول فرآیند جذب کاهش می‌یابد. همچنین، افزایش طول مسیر انتشار ناشی از تجمع مکان‌های جذب دلیل دیگری برای کاهش ظرفیت جذب است [۴۵]. بازده جذب برای یون‌های سرب از ۴۴ به ۹۵,۱۱٪ افزایش یافته، وقتی میزان جاذب از ۰,۰۰۴ به ۰,۰۱ گرم افزایش می‌یابد. بازده جذب برای یون سرب برای میزان جاذب ۰,۰۰۱ و ۰,۰۱۲ گرم تقریباً مشابه است. در این راستا، میزان جاذب ۰,۰۱ گرم به عنوان بهینه انتخاب شده است.

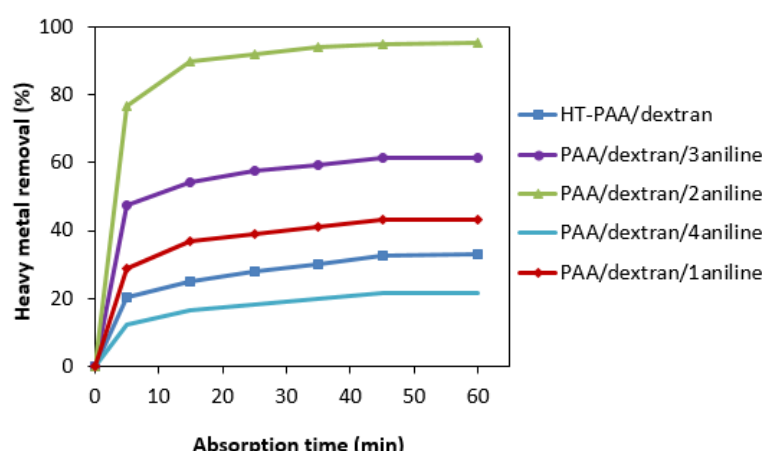
۲-۳-۲-۲-اثر تغییر غلظت اولیه فلز سرب بر میزان جذب

شکل ۱۰ تاثیر غلظت اولیه فلز سرب بر روی بازده جذب و ظرفیت جذب نانوآلیاف را نشان می‌دهد. اگرچه با افزایش غلظت اولیه فلز سرب درصد حذف بدلیل حضور تعداد زیاد مکان‌های جذب در مقابل افزایش تعداد فلز سرب کاهش یافته است، اما ظرفیت جذب به دلیل افزایش نیروی حرک گرادیان غلظت افزایش یافته است [۴۶]. نیروی حرک بر مقاومت انتقال جرم جذب شونده بین محلول و فاز جامد غلبه می‌کند [۴۷]. در غلظت اولیه بالای جذب شونده، نرخ جذب بیشتر و استفاده از تمام مکان‌های فعال به عنوان دلیل افزایش مقدار ظرفیت جذب معرفی می‌شود [۴۸].

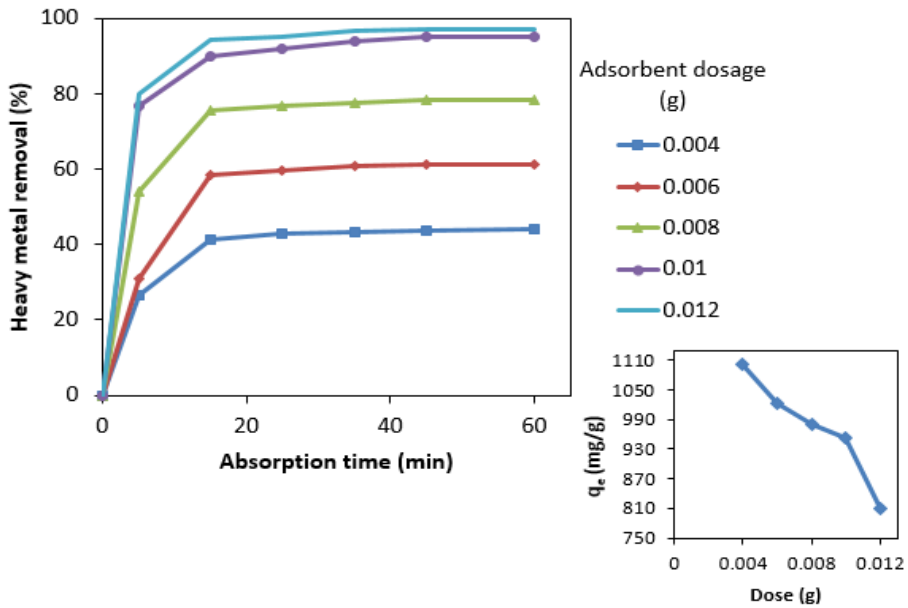
۲-۳-۲-۳-۱-اثر تغییرات زمان بر روی حذف فلز سرب

اثر زمان جذب بر روی حذف فلز سرب توسط نانوآلیاف مختلف بررسی شده است و نتایج در شکل ۸ ارائه شده است. همان‌طور که می‌توان مشاهده کرد، نانوآلیاف PAA/dextran/2aniline برای ۹۵,۱۱٪ در زمان تعادل بود که خیلی بیشتر از نمونه‌های دیگر است. همچنین، ظرفیت جذب آن ۹۵,۱ میلی‌گرم بر گرم بود که می‌تواند به دلیل ریخت منحصر به فرد نانوآلیاف که ناحیه سطح BET را نتیجه می‌دهد، باشد. ظرفیت جذب برای نانوآلیاف HT-PAA/dextran/2aniline، PAA/dextran/3aniline، PAA/dextran/1aniline و PAA/dextran/4aniline بترتیب برای سرب به ترتیب، ۳۲۸,۱، ۴۳۱,۱، ۶۱۲,۵ و ۲۱۵,۲ میلی‌گرم بر گرم بود. بازده جذب برای نانوآلیاف PAA/dextran/4aniline از نانوآلیاف PAA/dextran/2aniline بیشتر (مقدار ناحیه سطح BET بیشتر) و تخلخل بالاتر، بیشتر بوده است. واضح است که پلیمراسیون آنیلین بر روی سطح نانوآلیاف بصورت چشمگیری بازده جذب نانوآلیاف HT-PAA/dextran را افزایش داده است که به حضور گروه‌های آمین و آمین بر روی ساختار پلی آنیلین مربوط است که می‌تواند یون‌های فلزی چنگاله کند [۴۲]. اظهار شده است که حضور اتم نیتروژن بر روی سطح، ظرفیت جذب جاذب را برای جذب فلز سرب بدليل اتصال جفت الکترون نیتروژن به اوربیتال خالی این فلز افزایش می‌دهد [۲۱]. با این حال، جذب فلز سرب توسط جاذب‌ها در ۵ دقیقه ابتدایی سریع بوده و سپس جذب آهسته می‌شود و به تعادل می‌رسد. وجود تعداد زیادی مکان جذب خالی بر روی سطح نانوآلیاف، جذب سریع را در دقایق ابتدایی نتیجه می‌دهد [۴۳].

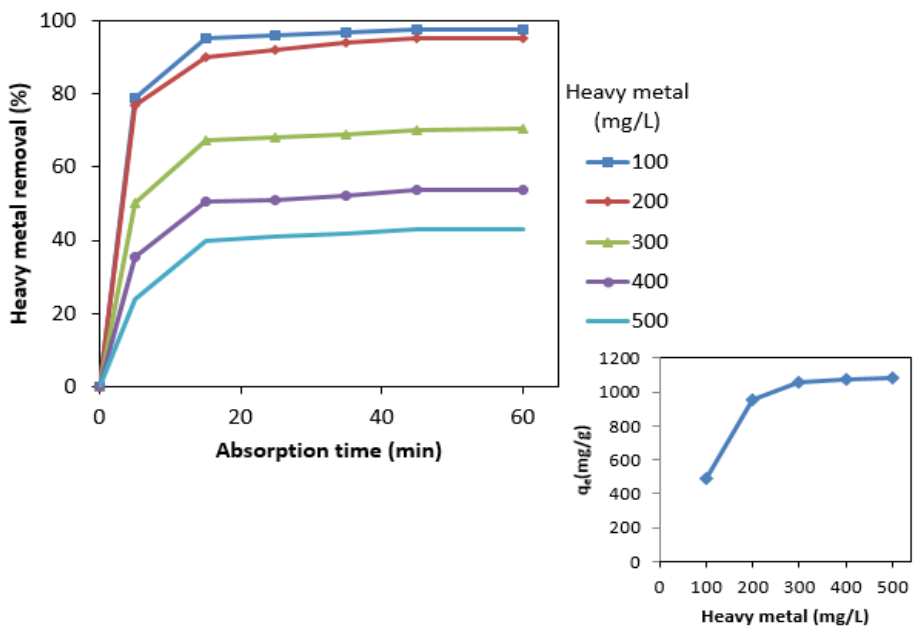
همچنین، گرادیان غلظت یون فلزی در این سطح نسبتاً بالا است که منجره فرآیند جذب سریع می‌شود [۴۴]. کاهش نرخ جذب بعد از ۵ دقیقه به دلیل کاهش غلظت فلز سرب و تجمع فلز سرب بر روی سطح جاذب بوده که از مهاجرت یون‌های فلزی باقی‌مانده از محلول به سطح



شکل ۸: تاثیر زمان جذب بر حذف فلز سرب توسط نانوآلیاف مختلف.



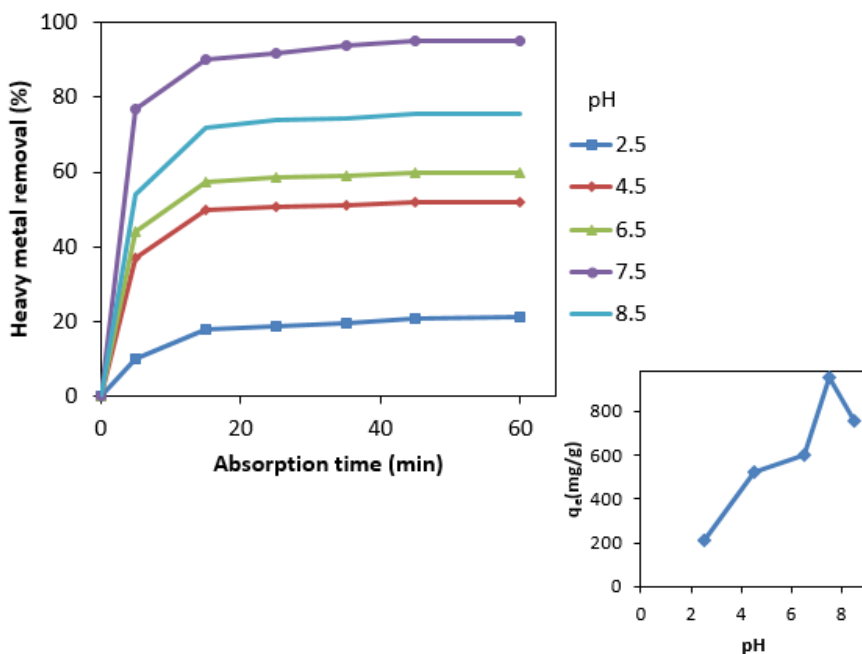
شکل ۹: تاثیر میزان جاذب بر حذف فلز سرب.



شکل ۱۰: تاثیر غلظت اولیه فلز سرب بر بازده حذف.

فلزی باشد [۴۹]. افزایش بیشتر pH منجر به رسوب یون‌های فلزی به دلیل غلظت بالای یون‌های OH در محلول می‌شود. نقطه IEP نانوالياف سنتری ۶,۸۵ تعیین شده است. وقتی pH کمتر از IEP، سطح نانوالياف شارژ بار مثبت دارد. همچنین، در مقادیر pH بالاتر از IEP، سطح نانوالياف شارژ بار منفی دارد [۵۰]. بهینه در این تحقیق ۲,۵ است. در این pH، سطح نانوالياف بار منفی داشته و جاذبه الکترواستاتیک می‌تواند بین فلز سرب با بار مثبت و بار منفی جاذب اتفاق افتد و بازده جذب افزایش یابد.

۴-۳-۴-۱- اثر تغییر pH بر میزان جذب
اثر pH بر حذف فلز سرب بررسی شده است و نتایج در شکل ۱۱ ارائه شده است. همانطور که می‌توان مشاهده کرد، بازده جذب از ۲۱ به ۹۵٪ برای یون‌های Pb افزایش یافته است، وقتی که مقدار pH از ۲,۵ به ۷,۵ افزایش یافته است. در pH اسیدی غلظت H^+ بالا است و با یون‌های فلزی در طول فرآیند جذب رقابت می‌کند و بازده جذب کمتر می‌شود [۲۷]. همچنین، مشاهده شده است که بازده جذب و ظرفیت جذب در pH بازی کاهش یافته که می‌تواند به دلیل آبکافت یون‌های



شکل ۱۱: تاثیر pH بر بازده حذف فلز سرب.

که K_p و I به ترتیب ثابت سرعت نفوذ و عرض از مبدأ است. نفوذ درون حجم منفذ (نفوذ درون ذره) و نفوذ در امتداد سطح منفذ (انتشار سطح) در جذب درگیر هستند.تابع خطای مورد استفاده برای محاسبه مقدار خطأ و تعیین بهترین مدل، درصد انحراف معیار مارکود^۱ (MPSD) (رابطه ۷) است [۵۱].

$$MPSD = 100 \sqrt{\frac{1}{N \cdot P} \sum_{i=1}^n \left(\frac{(q_{e(\text{exp})} - q_{e(\text{Cal})})^2}{q_{e(\text{exp})}} \right)} i \quad (7)$$

که N تعداد اندازه‌گیری‌ها، P معادل تعداد عوامل در مدل، $q_{e(\text{exp})}$ و $q_{e(\text{cal})}$ بترتیب ظرفیت جذب تجربی و محاسبه شده است. نمودارهای $\log(q_e - q_t)$ در مقابل زمان ثابت (t)، t/q_t در مقابل زمان ثابت (t) و $q_t^{1/2}$ در مقابل $t^{1/2}$ به منظور تعیین قابلیت استفاده از مدل‌های شبه مرتبه اول، شبه مرتبه دوم و نفوذ درون ذره ای برای جذب یون Pb بر روی جاذب در غلاظت‌های مختلف فلز سرب رسم شده است. جذب آلاینده‌ها از محلول به سطح جاذب که به عنوان انتشار خارجی شناخته می‌شود، ۲) مهاجرت آلاینده‌ها به منفذ جاذب (انتشار سطحی یا انتشار به منفذ) و ۳) جذب در سطح داخلی جاذب‌ها [۵۲].

۴-۳- سینتیک جذب

برای نشان دادن سازوکار کنترل جذب فلز سرب بر روی نانوالیاف، سه مدل سینتیکی (شبه مرتبه اول، شبه مرتبه دوم و نفوذ درون ذره) استفاده شده است. شکل خطی مدل سینتیکی شبه مرتبه اول به صورت رابطه ۴ است [۱۵].

$$\log(q_e - q_t) = \log(q_e) - \frac{K_1}{2.303} t \quad (4)$$

که q_e میزان ماده رنگزای جذب شده در حالت تعادل ($mg \cdot g^{-1}$)، q_t میزان ماده رنگزای جذب شده در زمان t (min) و K_1 ثابت تعادلی سرعت سینتیک شبه مرتبه اول (min^{-1}) است. فرم خطی مدل سینتیکی شبه مرتبه دوم به صورت رابطه ۵ است [۵۱].

$$\frac{t}{q_t} = \frac{1}{K_2 q_e^2} + \frac{1}{q_e} t \quad (5)$$

که q_e میزان ماده رنگزای جذب شده در حالت تعادل ($mg \cdot g^{-1}$) و K_2 ثابت تعادلی سرعت مدل سینتیکی شبه مرتبه دوم ($g / mg \cdot min$) است.

همچنین امکان بروز پدیده نفوذ درون ذره‌ای توسط مدل انتشار بررسی شده است (رابطه ۶) [۳۴].

$$q_t = k_p t^{\frac{1}{2}} + I \quad (6)$$

همچنین نزدیکی q_e محاسبه شده به q_e تجربی برای مدل شبه مرتبه دوم می‌توان نتیجه گرفت که مدل شبه مرتبه دوم میزان جذب را بهتر تعیین می‌کند.

۳-۵- ایزوترم جذب

در جهت کوشش برای کشف جاذب‌های نوین و بمنظور دستیابی به سیستم‌های جذبی ایده‌آل، بررسی همبستگی داده‌های تعادلی جذب امری ضروری است. این داده‌ها به جهت تعیین عوامل جذب و مقایسه کمی رفتار جذب جاذب‌ها در سیستم‌های جذبی مختلف (یا با شرایط آزمایشی متفاوت) بکار می‌رود. از این‌رو، روابط تعادلی که بطور کلی ایزوترم‌های جذب نامیده می‌شوند، در تفسیر آن که آلینده‌ها چگونه با مواد جاذب برهم‌کنش ایجاد می‌کنند بسیار حائز اهمیت می‌باشند.

۱- Marquardt

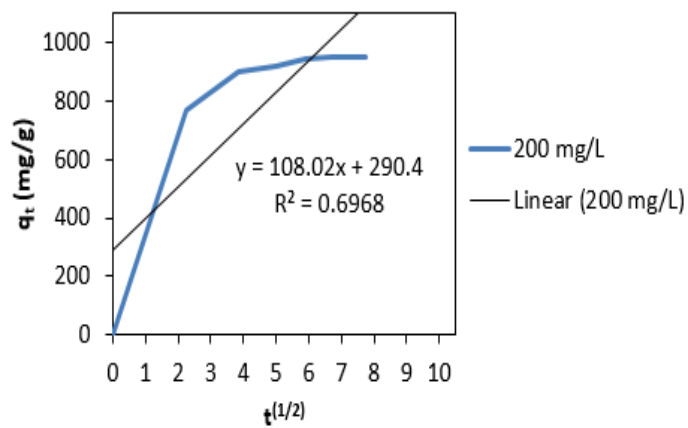
همان‌طور که قبلاً ذکر شد، جذب فلز سرب توسط نانوالیاف PAA/dextran/2aniline در دقایق ابتدایی سریع بود که به جذب به سطح خارجی (مرحله اول) مربوط است. سپس، میزان جذب کاهش یافته و به تدریج در ۱۰ دقیقه ادامه یافت. نفوذ درون ذره کنترل سرعت است و دلیل کاهش میزان جذب در این مرحله است. نفوذ درون ذره (مرحله ۲) به عنوان مرحله کنترل در جذب آلینده‌ها توسط جاذب‌های متخلخل در نظر گرفته می‌شود [۳۰].

برای مدل نفوذ درون ذره، اگر خط مستقیم از مبدأ عبور کند؛ نفوذ درون ذره کنترل است. در این مقاله، خط مستقیم فرآیند جذب صفر را قطع نمی‌کند (شکل ۱۲) که نشان می‌دهد فضای خارجی و نفوذ درون ذره در طول فرآیند جذب همسو هستند. چنین نتایجی توسط محققان دیگر گزارش شده است [۵۴].

پارامترهای مربوط به مدل سینتیکی مختلف به صورت خلاصه در جدول ۲ ارائه شده است. براین اساس، با توجه به ضریب رگرسیون بالاتر مدل شبه مرتبه دوم در مقایسه با مدل‌های استفاده شده و

جدول ۲: مشخصه‌های مربوط به مدل‌های سینتیکی شبه مرتبه اول، شبه مرتبه دوم و نفوذ درون ذره‌ای.

k_p	نفوذ درون ذره				شبه مرتبه دوم				شبه مرتبه اول				فلز سنگین (mg/l)
	I	R^2	MPSD	K_2	$(q_e)_{Cal}$	R^2	MPSD	K_1	$(q_e)_{Cal}$	R^2	$(q_e)_{Exp}$		
۵۵,۴۴۴	۱۵۹,۴۲	۰,۶۸۴	۲,۰۲۴	۰,۰۰۱۲	۴۸۰,۳۳	۰,۹۹۸	۴۲,۲۵۴	۰,۱۳۷	۳۴۱,۲	۰,۹۲۹	۴۸۸,۵	۱۰۰	
۱۰۸,۰۲	۲۹۰,۴	۰,۶۹۶	۱,۲۵۴	۰,۰۰۳۵	۹۶۲,۵۲	۱	۴۰,۱۱۴	۰,۱۴۲	۷۱۴,۵۲	۰,۹۳۰	۹۵۱,۱	۲۰۰	
۱۲۵,۳۳	۳۰۲,۵۱	۰,۶۹۹	۴,۵۷۲	۰,۰۰۵۹	۱۰۳۲,۶۵	۰,۹۹۶	۳۶,۲۵۵	۰,۱۴۷	۷۹۰,۶۹	۰,۸۹۸	۱۰۵۴,۹۵	۳۰۰	
۱۳۰,۵۲	۳۲۲,۵۴	۰,۷۰۸	۴,۰۲۱	۰,۰۰۶۲	۱۰۴۹,۶۹	۰,۹۹۹	۳۳,۱۸۷	۰,۱۷۲	۷۹۸,۷۷	۰,۹۰۲	۱۰۷۶,۴	۴۰۰	
۱۴۷,۱۹	۳۴۰,۴۷	۰,۷۷۱	۲,۱۴۱	۰,۰۰۶۹	۱۰۸۸,۱	۰,۹۹۸	۲۸,۳۱۶	۰,۱۷۹	۸۰۰,۲۸	۰,۹۱۱	۱۰۷۸,۲۵	۵۰۰	



شکل ۱۲: مدل نفوذ درون ذره‌ای.

$$\log q_e = \log K_F + \frac{1}{n} \times \log C_e \quad (9)$$

که K_F ظرفیت جذب در غلظت واحد و n شدت جذب سطحی می‌باشد.

فرم خطی مدل ایزوترم ردیچ-پرسون در رابطه ۱۰ ارائه شده است [۵۸].

$$\ln (K_R \frac{C_e}{q_e} - 1) = g \ln C_e + \ln a_R \quad (10)$$

K_R (لیتر بر گرم) و a_R (یک بر میلی گرم) ثابت‌های ایزوترم ردیچ-پرسون هستند و g توان ایزوترم ردیچ پرسون است که بین صفر و یک است. وقتی که $g=1$ باشد رابطه ردیچ-پرسون با رابطه لانگمیور برابر است.

مدل تمپکین دارای یک فاکتور بوده که با برهم‌کنش‌های جاذب-جذب شونده رابطه مستقیم دارد. در این مدل فرض بر آن است که گرمای جذب تمام مولکول‌ها در لایه جذب شده به هنگام پوشش، به دلیل برهم‌کنش‌های جاذب-جذب شونده به صورت خطی کاهش می‌یابد و همچنین در فرایند جذب توزیع یکنواخت انرژی‌های پیوندی برقرار است. شکل خطی این مدل رابطه ۱۱ است.

$$q_e = B_1 \ln K_T + B_1 \ln C_e \quad (11)$$

که

$$B_1 = \frac{RT}{b} \quad (12)$$

K_T ثابت پیوند تعادلی مربوط به حداکثر انرژی پیوند و ثابت B_1 (رابطه ۱۲) مربوط به گرمای جذب است.

مقادیر ضرایب برای مدل‌های ایزوترم‌های مختلف در جدول ۳ ارائه شده است. همانطور که مشاهده می‌شود، ایزوترم لانگمیور یک ضریب همبستگی بیشتر نسبت به مدل‌های دیگر دارد. همچنین، عامل مدل ردیچ-پرسون به یک نزدیک بوده است که نشان می‌دهد مدل لانگمیور مناسب تر برای توصیف فرآیند جذب است و جذب بر روی مکان‌های جاذب همگن تکلایه است. پیش از این گزارش شده است که جذب Cr توسط نانوآلیاف پوسته - هسته PAN/PANI نیز از مدل ایزوترم لانگمیور پیروی کرده است [۳۹].

در تئوری لانگمیور پیش فرض‌های حاکم عبارتند از: جذب بصورت تکلایه اتفاق می‌افتد به طوری که ضخامت لایه برابر با ضخامت یک مولکول ماده رنگرا می‌باشد. جذب تها در مکان‌های مشخص و به میزان محدود صورت می‌گیرد. هر مکان جذب تنها توanalyی جذب یک مولکول را دارد و بین مولکول‌های جذب شده و همچنین مکان‌های مجاور هیچ برهم کنش و ممانعت فضایی وجود ندارد. تمامی مکان‌های جذب دارای افینیتی یکسان برای جذب مولکول‌های آلاینده می‌باشند. نقطه اشباع شدن برای هر مکان جذب، زمانی است که آن مکان یک مولکول را به خود جذب نموده باشد. شکل خطی ایزوترم جذب لانگمیور (رابطه ۸) در زیر نشان داده شده است [۵۶].

$$\frac{C_e}{q_e} = \frac{1}{K_L Q_0} + \frac{C_e}{Q_0} \quad (8)$$

در این روابط، q_e مقدار فلز سرب جذب شده بر روی جاذب در حالت تعادل، C_e غلظت تعادلی محلول فلز سرب، K_L ثابت تعادل و Q_0 بیشینه ظرفیت جذب است.

ایزوترم فرونالیش، یکی از قدیمی‌ترین مدل‌های ایزوترمی است که یک جذب بازگشت‌پذیر و غیرایده‌آل که محدود به یک تکلایه نمی‌شود را توصیف می‌کند. در این مدل، مکان‌های جذب دارای توزیع نایکنواخت گرمای جذب و افینیتی بوده و به عبارتی مکان‌های جذب ناهمگون می‌باشد. در این مدل، میزان مولکول‌های جذب شده در هر مکان می‌تواند متغیر باشد. به طور کلی، میزان جذب برابر با مجموع میزان مولکول‌های جذب شده در تمامی مکان‌ها است. در فرآیند جذب هر مکان دارای انرژی پیوند متفاوت بوده و در ابتدا مکان‌هایی با قدرت برقراری پیوند بیشتر اشغال می‌شوند. عمل جذب تا جایی ادامه خواهد داشت که انرژی جذب به صورت لگاریتمی کاهش یابد. در این مدل شبکه بیانگر شدت جذب یا ناهمگونی سطح است. اگر این مقدار در بازه صفر تا یک قرار گیرد مطلوب تلقی شده و هرچقدر به سمت صفر میل نماید نشان‌دهنده ناهمگونی و نایکنواختی بیشتر سطح است. مقادیر کمتر از یک همچنین نشان دهنده شیمیایی بودن جذب نیز می‌باشد. شکل خطی ایزوترم جذب فرنالیش در رابطه ۹ ارائه شده است [۵۷].

جدول ۳: مقادیر ضرایب مدل‌های ایزوترم مختلف.

لانگمیور				فرونالیش				ردیچ-پرسون				تمپکین			
R^2	Q_0	K_L	R^2	$1/n$	K_F	R^2	K_R	a_R	g	R^2	B_1	K_T			
۱	۱۱۱۱,۱۱	۰,۵	۰,۷۴۲	۰,۱۴۲	۵۲۴,۸	۰,۸۸۸	۱۷۸۸,۶۹	۷,۵۵	۰,۹۹۹	۰,۷۸۹	۱۰۸,۷۹	۱۳۲,۷۶			

جدول ۴: مقایسه بیشینه ظرفیت جذب Pb با جاذب‌های مختلف.

منبع	ایزوترم جذب	آلاینده	ظرفیت جذب (mg/g)	جادب
[۵۹]	لانگمیور	Pb	۱۱۲,۳۶	Modified Silica nanotubes
[۶۰]	لانگمیور	Pb	۱۶۹,۳۴	DSDH-mesoporous silica
[۶۱]	لانگمیور	Pb	۸۰,۶۴۵	Fig sawdust activated carbon
[۶۲]	فروندلیش	Pb	۱۸,۳۸	sodium dodecyl sulfate acrylamide Zr(IV) selenite
[۶۳]	لانگمیور	Pb	۳۰	Fe nanoparticles loaded ash
[۶۴]	لانگمیور	Pb	۱۷۳,۶۲	Schiff base DSDH ligand
پژوهش حاضر	لانگمیور	Pb	۱۱۱۱,۱۱ ۸۳۲,۳۳	PAA/dextran/2aniline

شیمیابی نشان می‌دهد که شبکه نانوالیاف کامپوزیتی توسط عملیات حرارتی تولید شده است. با توجه به تصاویر FESEM، پلیمریزاسیون درجا آنیلین منجر به رسوب یک لایه پلی آنیلین بر روی سطح نانوالیاف شده است. استفاده از کربنات کلسیم در فرآیند پلیمریزاسیون و متعاقباً شستشو نانوالیاف با محلول HCl در فرآیند تولید نانوالیاف مزبور با ناحیه سطح BET بالا را نتیجه داده است. افزایش بیشتر غلظت آنیلین یک شکل فیلم مانند را ایجاد کرده است. بررسی متغیرهای موثر بر فرآیند جذب نشان داد که بازده جذب از محیط با افزایش مقدار جاذب افزایش یافته و به تدریج به مقدار ثابتی می‌رسد. با افزایش غلظت فلز سرب مقدار درصد حذف کاهش می‌یابد و میزان فلز سرب حذف شده در مقادیر مختلف pH متفاوت است. نانوالیاف سنتزی بیشینه ظرفیت جذب بالای ۱۱۱۱,۱۱ میلی گرم بر گرم برای فلز سرب نشان داده‌اند که از مدل ایزوترم لانگمیور به دست آمده است. از آنجایی که حذف یون‌های فلزی توسط نانوالیاف توسط فعل و انفعالات الکترواستاتیک اتفاق افتاده است، pH محلول نقش مهمی را در فرآیند جذب بازی کرده است که pH بینه ۷,۵ بود.

۳-۶- مقایسه نانوالیاف سنتزی با جاذب‌های تهیه شده دیگر جاذب‌های تهیه شده که قبلاً توسط محققان مختلف برای حذف فلزات سنگین استفاده شده است در جدول ۴ ارائه شده است و ظرفیت جذب و مدل ایزوترم مورد پیروی با جاذب‌های سنتزی در این پژوهش مقایسه شده است. مقایسه بیشینه ظرفیت جذب Pb(II) با جاذب‌های مختلف در جدول ۴ نشان داده شده است. می‌توان مشاهده کرد که نانوالیاف PAA/dextran/2aniline دارای بیشینه ظرفیت جذب نسبتاً بالای ۱۱۱۱,۱۱ میلی گرم به ترتیب برای Pb(II) است که از جاذب‌های سنتز شده در گذشته بسیار بیشتر است [۵۹-۶۴] که می‌توان پیشنهاد کرد نانوالیاف سنتزی پتانسیل خوبی در حذف فلز سرب از محلول‌های آبی دارند.

۴- نتیجه‌گیری

در این مقاله، نانوالیاف PAA/dextran/aniline توسط پلیمریزاسیون درجایی مونومر آنیلین بر روی سطح نانوالیاف شبکه‌ای شده PAA/dextran کامپوزیتی سنتز شده است و قابلیت حذف فلز سرب این نانوالیاف بررسی شده است. نتایج بررسی‌های ساختاری و

۵- مراجع

- Y. Bao, X. Yan, W. Du, X. Xie, Z. Pan, J. Zhou, L. Li, Application of amine-functionalized MCM-41 modified ultrafiltration membrane to remove chromium (VI) and copper (II). *Chem. Eng. J.* 281(2015), 460–467.
- Y. Yan, Q. An, Z. Xiao, W. Zheng, Sh. Zhai, Flexible core-shell/bead-like alginate@PEI with exceptional adsorption capacity, recycling performance toward batch and column sorption of Cr (VI). *Chem. Eng. J.* 313(2017), 475–486.
- I. Ihsanullah, F. A. Al-Khalidi, B. Abusharkh, M. Khaled, M. A. Atieh, M. S. Nasser, T. Laoui, Tawfik A. Saleh, S. Agarwal, I. Tyagi, V. Kumar Gupta, Adsorptive removal of cadmium(II) ions from liquid phase using acid modified carbon-based adsorbents. *J. Mol. Liq.* 204(2015), 255–263.
- R. Dawson, A. Laybourn, R. Clowes, Y. Z. Khimyak, D. J. Adams, A. I. Cooper, Functionalized Conjugated Microporous Polymers. *Macromol.* 42(2009), 8809–8816.
- A. Almasian, M. L. Jalali, Gh. Chizari Fard, L. Maleknia, Surfactant grafted PDA-PAN nanofiber: Optimization of synthesis, characterization and oil absorption property. *Chem. Eng. J.* 326(2017), 1232–1241.
- E. Antoniou, M. Tsianou, Solution Properties of Dextran in Water and in Formamide. *J. Appl. Polym. Sci.* 125(2012), 1681–1692.
- A. Almasian, Gh. Chizari Fard, M. Parvinzadeh Gashti, M. Mirjalili, Z. Mokhtari Shourijeh, Surface modification of electrospun PAN nanofibers by amine compounds for adsorption of anionic dyes. *Desalin. Water Treat.* 57(2016), 10333–10348.

8. Sh. Xiao, M. Shen, H. Ma, R. Guo, Meifang Zhu, Shanyuan Wang, Xiangyang Shi, Fabrication of Water-Stable Electrospun Polyacrylic Acid-Based Nanofibrous Mats for Removal of Copper (II) Ions in Aqueous Solution. *J. Appl. Polym. Sci.* 116(2010), 2409–2417.
9. F. Cengiz-Çallıoglu, Dextran nanofiber production by needleless electrospinning process, *e-Polymers*. 14(2014), 5–13.
10. H. Jiang, D. Fang, B. S. Hsiao, B. Chu, W. Chen, Optimization and characterization of dextran membranes prepared by electrospinning, *Biomacromolecules*. 5(2004), 326–333.
11. Celile Demirbilek, Cemile Ozdemir Dinc, Synthesis of diethylaminoethyl dextran hydrogel and its heavy metal ion adsorption characteristics. *Carbohydr. Polym.* 90(2012), 1159– 1167.
12. E. Fosso-Kankeu, H. Mittal, Shivani B. Mishra, Ajay K. Mishra, Gum ghatti and acrylic acid based biodegradable hydrogels for the effective adsorption of cationic dyes. *J. Ind. Eng. Chem.* 22(2015), 171–178.
13. A. Almasian, M. Parvinzadeh Gashti, M. E. Olya, Gh. Chizari Fard, Poly(acrylic acid)-zeolite nanocomposites for dye removal from single and binary systems, 2016, 57, 20837–20855.
14. S. Zhang, M. Zeng, W. Xu, J. Li, J. Li, J. Xu, X. Wang, Polyaniline nanorods dotted on grapheme oxide nanosheets as a novel super adsorbent for Cr(VI). *Dalton Trans.* 41(2013), 7854–7858.
15. S. B. Teli, S. Molina, E. G. Calvo, A. E. Lozano, J. de Abajo, Preparation, characterization and antifouling property of polyethersulfone–PANI/PMA ultrafiltration membranes, *Desalin.* 299(2012), 113–122.
16. Gh. Chizari Fard, M. Mirjalili, F. Najafi, Hydroxylated α -Fe 2 O 3 nanofiber: Optimization of synthesis conditions, anionic dyes adsorption kinetic, isotherm and error analysis. *J. Taiwan Inst. Chem. Eng.* 70(2017), 188–199.
17. K. Niesz, P. Yang, G. A. Somorjai, Sol-gel synthesis of ordered mesoporous alumina, *Chem. Commun.* (2005), 1986–1987.
18. H. Zhu, D. Chen, S. Yang, N. Li, Q. Xu, H. Li, L. Wang, J. He, J. Jiang, J. Lu, A versatile and cost-effective reduced graphene oxide-crosslinked polyurethane sponge for highly effective wastewater treatment. *RSC Adv.* 6(2016), 38350–38355.
19. H. Jiang, D. Fang, B. S. Hsiao, B. Chu, W. Chen, Optimization and Characterization of Dextran Membranes Prepared by Electrospinning. *Biomacromolecules*. 5(2004), 326–333.
20. Sh. Xiao, M. Shen, R. Guo, Qingguo Huang, Sh. Wang, X. Shi, Fabrication of multiwalled carbon nanotube-reinforced electrospun polymer nanofibers containing zero-valent iron nanoparticles for environmental applications. *J. Mater. Chem.* 20(2010), 5700–5708.
21. A. Almasian, N. M. Mahmoodi, M. E. Olya, Tectomer grafted nanofiber: Synthesis, characterization and dye removal ability from multicomponent system. *J. Ind. Eng. Chem.* 32(2015), 85–98.
22. A. Haider, S. Haider, I. K. Kang, A comprehensive review summarizing the effect of electrospinning parameters and potential applications of nanofibers in biomedical and biotechnology. *Arabian J. Chem.* 2015.
23. P. A. Padmanabhan, D. S. Kim, D. Pak, S. J. Sim, Rheology and gelation of water-insoluble dextran from *Leuconostoc mesenteroides* NRRL B-523, *Carbohydrate Polymers*, 2003, 53, 459–468.
24. S. Netsop, S. Niamsanit, D. Sakloetsakun, N. Milintawisamai, Hindawi, Characterization and Rheological Behavior of Dextran from *Weissella confusa* R003. *Int. J. Polym. Sci.* (2018), 1–10.
25. Y. Bai, Z. H. Huang, X. Yu, K. Kaneko, F. Kang, Micro-mesoporous graphitic carbon nanofiber membranes. *Carbon*, 132(2018), 746–748.
26. Q. R. Fang, T. A. Makal, M. D. Young, H. C. Zhou, Recent Advances In The Study of Mesoporous Metal-Organic Frameworks. *J. Crit. Discussion Curr. Lit.* 31(2010), 165–195.
27. A. Almasian, F. Najafi, L. Maleknia , M. Giahi, Mesoporous MgO/PPG hybrid nanofibers:synthesis, optimization, characterization and heavy metal removal property. *New J. Chem.* 42(2018), 2013–2029.
28. D. Zhua, K. Cheng, Y. Wang, D. Sun, L. Gan, T. Chen, J. Jiang, M. Liu, Nitrogen-doped porous carbons with nanofiber-like structure derived from poly (aniline-co-p-phenylenediamine) for supercapacitors. *Electrochim. Acta*, 224(2017), 17–24.
29. A. Berenjian , L. Maleknia, Gh. Chizari Fard , A. Almasian, Mesoporous carboxylated Mn₂O₃ nanofibers: Synthesis, characterization and dye removal property. *J. Taiwan Inst. Chem. Eng.* 86(2018), 57–72.
30. A. Almasiana, Gh. Chizari Farda, M. Mirjalilib, M. Parvinzadeh Gashti, Fluorinated-PAN nanofibers: Preparation, optimization, characterization and fog harvesting property. *J. Ind. Eng. Chem.* 62(2018), 146–155.
31. D. Hussain, F. Loyal, A. Greiner, J. H. Wendorff, Structure property correlations for electrospun nanofiber nonwovens. *Polym.* 51(2010), 3989–3997.
32. M. Tiana, Y. N. Wang, R. Wanga, A. G. Fane, Synthesis and characterization of thin film nanocomposite forward osmosis membranes supported by silica nanoparticle incorporated nanofibrous substrate. *Desalin.* 401(2017), 142–150.
33. A. Almasian, F. Najafi, M. Mirjalili, M. Parvinzadeh Gashti, Gh. Chizari Fard, Zwitter ionic modification of cobalt-ferrite nanofiber for the removal of anionic and cationic dyes, *J. Taiwan Ins. Chem. Eng.* 67(2016), 306–317.
34. A. Almasian, M. E. Olya, N. M. Mahmoodi, Synthesis of polyacrylonitrile / polyamidoamine composite nanofibers using electrospinning technique and their dye removal capacity. *J. Taiwan Inst. Chem. Eng.* 49(2015), 119–128.
35. O. Carp, Luminita Patron, Daniela C. Culita, Petru Budrigeac, Marcel Feder • Lucian Diamandescu, Thermal analysis of two types of dextran-coated magnetite. *J.Therm Anal Calorim.* 101(2010), 181–187.
36. R. Z. Ahmed, K. Siddiqui, M. Arman, N. Ahmed, Characterization of high molecular weight dextran produced by *Weissella cibaria* CMGDEX3. *Carbohydr. Polym.*, 90(2012), 441–446.
37. J. Santiago-Morales1, G. Amariei1, P. Letón, R. Rosal, Antimicrobial activity of poly(vinyl alcohol)-poly(acrylic acid) electrospun nanofibers. *Colloids Surf. B.* 146(2016), 144–151.
38. J. Wang, K. Pan, Emmanuel P. Giannelis, Bing Cao, Polyacrylonitrile/polyaniline core/shell nanofiber mat for removal of hexavalent chromium from aqueous solution: mechanism and applications, *RSC Adv.* 3(2013), 8978–8987.
39. P. Daraei, S. S. Madaeni, N. Ghaemi, E. Salehi, M. A. Khadivi, R. Moradian, Bandar Astinchap, Novel polyethersulfone nanocomposite membrane prepared by PANI/Fe₃O₄ nanoparticles with enhanced performance for Cu(II) removal from water. *J. Membr. Sci.* 415–416 (2012),

- 250–259.
40. I. Poljanšek and Matjaž Krajnc, Characterization of Phenol-Formaldehyde Prepolymer Resins by In Line FT-IR Spectroscopy, *Acta. Chim. Slov.* 52(2005), 238–244.
 41. S. Cavus, G. Gurdag, Noncompetitive removal of heavy metal ions from aqueous solutions by poly [2-(acrylamido)-2-methyl-1-propanesulfonic acid-co-itaconic acid] hydrogel. *Ind. Eng. Chem. Res.* 48(2009), 2652–2658.
 42. A. Almasian, M. E. Olya, N. M. Mahmoodi, Preparation and Adsorption Behavior of Diethylenetriamine/Polyacrylonitrile Composite Nanofibers for a Direct Dye Removal. *Fibers Polym.* 16(2015), 1925–1934.
 43. S. Yari, S. Abbasizadeh, S. E. Mousavi, M. Saei Moghaddam, A. Zarringhalam Moghaddam, Adsorption of Pb (II) and Cu(II) ions from aqueous solution by an electrospun CeO₂nanofiberadsorbent functionalized with mercapto groups. *Process Saf. Environ. Prot.* 94(2015), 159–171.
 44. N. M. Mahmoodi, J. Abdi, F.Najafi, Gemini polymeric nanoarchitecture as a novel adsorbent: Synthesis and dye removal from multicomponent system. *J. Colloid Interface Sci.* 400(2013), 88–96.
 45. A. Almasian, Gh. Chizari Fard, M. Parvinzadeh Gashti, M. Mirjalili, Z. Mokhtari Shourijeh, Surface modification of electrospun PAN nanofibers by amine compounds for adsorption of anionic dyes. *Desalin. Water Treat.* 57(2016), 10333–10348.
 46. O. Gulnaz, A. Kaya, The reuse of dried activated sludge for adsorption of reactive dye. *J. Hazard. Mater.* 134(2006), 190–196.
 47. Sh. Agarwal, Inderjeet Tyagi, Vinod Kumar Gupta, Fariba Golbaz, Ahmad Nozad Golikand, Omid Moradi, Synthesis and characteristics of polyaniline/zirconium oxide conductive nanocomposite for dye adsorption application. *J. Mol. Liq.* 218(2016), 494–498.
 48. S. A. Kosa, G. Al-Zhrani, M. A. Salam, Removal of heavy metals from aqueous solutions by multi-walled carbon nanotubes modified with 8-hydroxyquinoline. *Chem. Eng. J.* 181(2012), 159–168.
 49. K. Suttiponparnit, J. Jiang, M. Sahu, S. Suvachittanont, T. Charinpanitkul, P. Biswas, Role of Surface Area, Primary Particle Size, and Crystal Phase on Titanium Dioxide Nanoparticle Dispersion Properties, *Nanoscale. Res Lett* 27(2011), 1–8.
 50. G. E. Boyd, A. W. Adamson, L. S. Meyers, The exchange adsorption of ions from aqueous solution by organic zeolites II. Kinetics. *J. Am. Chem. Soc.* 69(1947), 2836–2848.
 51. A. Seidmohammadi, Gh. Asgari, A. Dargahi, M. Leili, Y. Vaziri, B. Hayati, A. A. Shekarchi, A. Mobarakian, A. Bagheri, S. B. Nazari Khanghah, A. Keshavarzpour. A Comparative Study for the Removal of Methylene Blue Dye from Aqueous Solution by Novel Activated Carbon Based Adsorbents. *Prog. Color Colorants Coat.* 12(2019), 133–144.
 52. م. صادقی کیاخانی، م. آرامی، ک. فرنجیگ. کاربرد زیست جاذب پلیمری کیتوسان - دندربیم در رنگری مواد رنگرای مستقیم: بهینه سازی با استفاده از RSM. بررسی سینتیک و ایزوترم جذب. *نشریه علمی علوم و فناوری رنگ.* ۱۳۹۱، ۶، ۳۶۸–۳۵۵.
 53. O. Gerçel, A. Ozcan, A. Ozcan, H. Gerçel, Preparation of activated carbon from a renewable bio-plant of Euphorbia rigida by H₂SO₄ activation and its adsorption behavior in aqueous solutions. *Appl Surf Sci.* 253(2007), 4843–4852.
 54. E. Rubin, P. Rodriguez, R. Herrero, E. S. de Vicente, Adsorption of methylene blue on chemically modified algal biomass: equilibrium, dynamic, and surface data. *J. Chem. Eng. Data.* 55(2010), 5707–5714.
 55. M. K. Aroua, C. Y. Yin, F. N. Lim, W. L. Kan, W. M. Daud, Effect of impregnation of activated carbon with chelating polymer on adsorption kinetics of Pb²⁺. *J. Hazard. Mater.* 166(2009), 1526–1529.
 ۵۶. س. خلقی، خ. بدیعی، س. ا. احمدی. بررسی ایزوترم و سینتیک جذب زیستی رنگرای اسیدی قرم ۱۴ از محلول آبی با استفاده از گیاه آزوای گونه Filiculodes A. *نشریه علمی علوم و فناوری رنگ.* ۱۳۹۱، ۶، ۳۴۶–۳۴۲.
 ۵۷. س. لک عیان، ع. بهار لویی، ا. جلیل نژاد، کاربرد پسمان‌های کشاورزی به عنوان جاذب طبیعی در حذف مواد رنگرای صنعتی، *نشریه علمی علوم و مطالعات در دنیای رنگ.* ۱۳۹۵، ۶، ۲۷–۴۳.
 ۵۸. ف. آریانسپ، ش. مظفری، س. ف. هادی. رنگری مواد رنگرای آنیونی از محلول‌های آبی با استفاده از نانوذرات مغناطیسی پوشش داده شده با نشاسته عامل دار شده با دی‌تیوکاربامات. *نشریه علمی علوم و فناوری رنگ.* ۱۳۹۷، ۶، ۷۷–۷۲.
 59. H. Wang, B. Gao, S. Wang, J. Fang, Y. Xue, K. Yang, Removal of Pb(II), Cu(II), and Cd(II) from aqueous solutions by biochar derived from KMnO₄ treated hickory wood, *Bioresource Technology*, 197(2015), 356–362.
 60. A. Shahat, M. Rabiu Awual, M. Abdul Khaleque, M. Zahangir Alam, M. Naushad, A. M. Sarwaruddin Chowdhury, Large-pore diameter nano-adsorbent and its application for rapid lead(II) detection and removal from aqueous media, *Chem. Eng. J.* 273(2015), 286–295.
 61. M. Ghasemi, M. Naushad, N. Ghasemi, Y. Khosravi-fard, Adsorption of Pb(II) from aqueous solution using new adsorbents prepared from agricultural waste: Adsorption isotherm and kinetic studies, *J. Ind. Eng. Chem.* 20(2014), 2193–2199.
 62. M. Naushad, Surfactant assisted nano-composite cation exchanger: Development, characterization and applications for the removal of toxic Pb²⁺ from aqueous medium, *Chem. Eng. J.* 235(2014), 100–108.
 63. M. Ghasemi, M. Naushad, N. Ghasemi, Y. Khosravi-fard, A novel agricultural waste based adsorbent for the removal of Pb(II) from aqueous solution: Kinetics, equilibrium and thermodynamic studies. *J. Ind. Eng. Chem.* 20(2014), 454–461.
 64. M. Rabiu Awual, G. E. Eldesoky, T. Yaita, M. Naushad, H. Shiwaku, Z. A. AlOthman, S. Suzuki, Schiff based ligand containing nano-composite adsorbent for optical copper(II) ions removal from aqueous solutions. *Chem. Eng. J.* 279(2015), 639–647.